

دراسة تأثير شكل الزعنفة على الحمل الحراري الحر

وليد محمد عبد

كلية الهندسة

جامعة الانبار

الخلاصة:

في الكثير من الدوائر الالكترونية الحديثة تكون تأثيرات الطفو المستحثة حراريا غير كافية لتبريد الكثافة العالية من الأجزاء الالكترونية الدقيقة بالحمل الحر. لذلك نستخدم التقنيات الهندسية لتحسين انتقال الحرارة، مثل الجدران الحرارية (Heat sinks) حيث تستعمل لزيادة فعالية المساحة السطحية لنقل الحرارة من السطح الساخن إلى المحيط الخارجي، و تمتاز بانخفاض المقاومة الحرارية لها.

تم دراسة تأثير شكل الزعنفة على الأداء الحراري للسطح المزعنف، وحساب معامل انتقال الحرارة بالحمل الحر من سطوح مزعنفة بزعانف مستطيلة شاقولية وزعانف وتدية. تم التوصل إلى أن التشتت (Dissipated) الحراري من السطوح المزعنفة بزعانف مستطيلة شاقولية أكبر مما هو عليه في حالة السطوح المزعنفة بزعانف وتدية. حيث تكون المقاومة الحرارية في حالة السطوح المزعنفة بزعانف وتدية أكبر بمقدار (31%) من السطوح المزعنفة بزعانف مستطيلة شاقولية.

كذلك تم التوصل إلى معادلة تجريبية لحساب معامل انتقال الحرارة بالحمل الحر من سطوح مزعنفة بزعانف مستطيلة شاقولية وزغانف وتدية. تم مقارنة المعادلة التجريبية لحساب معامل انتقال الحرارة بالحمل الحر من سطوح مزعنفة بزعانف مستطيلة شاقولية مع بحوث سابقة وكان هناك تطابق جيد بينهما حيث كانت نسبة الخطأ (0.12%).

الكلمات الرئيسية: تأثير شكل الزعنف، سطوح مزعنفة، الحمل الحر، تبريد الإلكترونيات

STUDY OF FINS SHAPES' EFFECT ON NATURAL THERMAL CONVECTION

Waleed Mohammad Abid
Engineering College
Anbar University

Abstract:

In many electric circuit boards thermally induced buoyancy effects are not always sufficient to adequately cool high density electronic packages found in modern circuit boards. Instances thermal enhancement techniques, such as heat sinks, must be used to increase the effective surface area for heat transfer so lower the thermal resistance between sources and sink.

Both vertical rectangular and pin finned surfaces were studied to show the shape effect and natural convection heat transfer coefficient. The thermal dissipated from vertical rectangular finned surfaces greater than pins finned surfaces. The overall thermal resistance of the pins finned surfaces greater (31%) compared with vertical rectangular finned surfaces.

An empirical equation was predicted to calculate average natural convection heat transfer coefficient from vertical rectangular and pin fins. The results show an excellent convince with the Literature review where the overall error was about (0.12%).

قائمة الرموز:

المعنى	الرمز	المعنى	الرمز
عدد كراتشوف	Gr	المساحة السطحية (m^2)	As
عدد الزعاف	N	المسافة بين زعنفيين (m)	b
ثابت يعتمد على مساحة السطح و انبعاثية الأشعة المنعكسة من سطح إلى آخر.	Nu	ثابت يعتمد على مساحة السطح و انبعاثية الأشعة المنعكسة من سطح إلى آخر.	C_{net}
محيط الزعنفة (m)	P	قطر الزعنفة الوردية (m)	D
عدد براندل	Pr	عامل الشكل	F
كمية الحرارة المنتقلة (W)	Q	معدل معامل انتقال الحرارة بالحمل ($W/m^2\text{C}$)	h
عدد ريلاني	Ra	طول الزعنفة (m)	H
عدد ريلاني المطور (المحسن)	Ra*	الموصلية الحرارية لمادة الزعنفة ($W/m^\circ\text{C}$)	k
درجة الحرارة	T	الموصلية الحرارية للمائع ($W/m^\circ\text{C}$)	k_f
سمك الزعنفة (m)	t	ثابت يستخدم في حسابات كفاءة الزعنفة	m
عرض الصفيحة المزعنفة (m)	W	التعجيل الأرضي (m^2/s)	g

الرموز الدليليه السفلية**الرموز اللاتينية**

الرمز	المعنى	الرمز	المعنى
الحمل	conv.	η	كافأة الزعنفة
الإشعاع	rad.	β	معامل التمدد الحجمي ($1/K$)
الكلي	total	ν	الزوجة الكينماتية (m^2/s)
السطحية	s	σ	ثابت ستيفن-بولتزمان
المحيط	∞	ρ	الكتافة (kg/m^3)

المقدمة

لتحسين معدل انتقال الحرارة بالحمل من أي جسم هناك طرق مختلفة منها بزيادة مساحة سطح التلامس مع المائع. يمكن زيادة سطح التلامس مع المائع بإضافة سطوح متعددة (Extended surface) إلى السطح الساخن مكونة ما يدعى بالجدران الحرارية (Heat sinks). تدعى السطوح المتعددة بالزعانف (Fins) وتكون بأشكال وأنواع مختلفة مثل الزعانف الشاقولية (الطويلة) (Vertical fins)، الزعانف الأفقية (Horizontal fins) أو الزعانف الوردية (Pins). تستخدم تقنية السطوح المتعددة في الكثير من التطبيقات الهندسية كالمعداتات الحرارية، منظومات التبريد والتكييف والأجهزة الكهربائية والالكترونية المختلفة [1].

ناقشت الدراسات و البحوث السابقة في مجال انتقال الحرارة بالحمل الحر من سطح مزعنف بطرق عملية (تجريبية) لكون الحلول النظرية و العددية تكون معقدة بعض الشيء حيث من الصعوبة نمذجة السطوح المزعنفة و حل معادلات الاستمرارية و الزخم و الطاقة [2].

من أهم المعادلات التجريبية المستخدمة لحساب معامل انتقال الحرارة بالحمل الحر من سطح شاقولي مزعنف هي المعادلة التي توصل إليها الباحث (Elenbass) [3]:

$$Nu = \frac{1}{24} Ra^* \left[1 - e^{\left(\frac{-35}{Ra^*} \right)} \right]^{0.75} \quad (1)$$

حيث (Ra^*) عدد ريلي المطور (المحسن). (Modified Ra number) علاقه تجريبية لعدد نسلت مقابل تغير رقم ريلي قدم الباحثان (Van de pol and Tiemey) [4] علاقه تجريبية لعدد نسلت مقابل تغير رقم ريلي للتبريد بالحمل الحر للزعانف الشاقولية المربوطة (المشدوة) بصفحة مستوية ، مستندة على بيانات تجريبية سابقة (Welling and Wooldridge) [5] ضمن المدى ($0.6 < Ra < 100$).

ادى الباحثان (Jones and Smith) [6] دراسة مماثلة على مجموعة من الزعانف الافقية المستطيلة موجهة نحو الاعلى و الاسفل فيما يتعلق بمتوجه الجاذبية. توصل الباحثان إلى علاقه تجريبية ضمن حدود ريلي ($10^2 < Ra < 6 \times 10^5$) بين رقم نسلت مقابل تغير رقم ريلي لكلا الحالتين (الأعلى و الأسفل). طبق الباحثان (Garg and Velusamy) [7] حلول الطبقة المتاخمة (Boundary layer) على أساس معادلة بلاسيوس (Blasius equation) لحساب الشروط الحدية الغير منتظمة كشرط مزدوج في نموذجهم التكراري. النماذج المماثلة ليست متوفرة للتبريد بالحمل الحر أو المخاطط. استخدم الباحثان (Culham et. al) [8] نموذج (META) كأداة لمحاكاة عرض انتقال الحرارة بالحمل الحر من سطوح مزعنفة بصورة شاقولية ضمن مدى واسع من رقم ريلي ($10^3 < Ra < 10^{10}$) لغرض تحليل السلوك الحراري للدواير الالكترونية حيث بينت النتائج توافق جيد بين النموذج المقترن (META) و النتائج العملية للباحث (Karagiozis) حيث كانت نسبة الخطأ بين النتائج (9%). كذلك توصل الباحثان (Yovanovichet et. al) [9] إلى علاقه لحساب معامل انتقال الحرارة

بالحمل الحر من سطح مزعنف بشكل شاقولي وكذلك من اسطوانة مزعنفة بزعانف حلقة الشكل، آخذاً بنظر الاعتبار منطقة الجريان الغير تام التشكيل (Developing) و منطقة الطبقة المتاخمة للمناطق الخارجية من السطح المزعنف.

يهدف البحث الحالي إلى دراسة تأثير شكل الزعنفة على الأداء الحراري للسطح المزعنف، وحساب معامل انتقال الحرارة بالحمل الحر من سطوح مزعنفة بزعانف مستطيلة شاقولية وزعناف وتدية.

الجهاز المستخدم في الجانب العملي

تم استخدام جهاز انتقال الحرارة بالحمل المبين في الشكل (١) لعمل التجارب المختبرية العملية حيث يتكون الجهاز من مجرى مستطيل المقطع عمودي يستند على حامل حديدي مثبت على سطح مستوي، وسطح مزعنف بزعانف وتدية اسطوانية وزعناف مستطيلة شاقولية متحركة، يمكن تركيبها في مجرى الهواء وإحكام تثبيتها بواسطة كلاب سريع التثبيت في جانب المجرى من الخارج، كل سطح مزعنف يحتوي على عنصر تسخين كهربائي (heater) مع حماية حرارية ضد التسخين المفرط (الزاد)، فعند الوصول إلى درجة الحرارة (100°C) يقوم المحتبس بقطع التزويد بالطاقة وتراجعها عند هبوط درجة الحرارة إلى حوالي (85°C). السطح المزعنف تحت الاختبار يمكن مشاهدته خلال فتحة مربعة الشكل في واجهة المجرى شفاف من مادة اكريليك. يمكن قياس درجة حرارة الهواء عند الدخول وعند الخروج من المجرى وكذلك درجة حرارة السطوح المزعنفة بزعانف مستطيلة شاقولية وتدية من خلال مجس المزدوج الحراري (Thermocouple) وهو متصل مع مقياس رقمي للقراءة (Digital thermometer) مباشرة. كذلك يحتوي الجهاز على معدات السيطرة وتشتمل منظم قدرة للتحكم في القدرة المزودة للسطح المزعنف تحت الاختبار والمقياس الرقمي لقيمتها. السطح المزعنف متصل بمعدات السيطرة عن طريق سلك وصله للتغذية المتصلة بنهائية معدات السيطرة.

طريقه أجراء التجارب العلمية

تم تقسيم التجارب العلمية إلى قسمين:
القسم الأول:

أجريت مجموعة تجارب عمليه باستخدام صفيحة مزعنفة (Finned Plate) (100mm×110mm) بزعانف مستطيلة شاقولية (Vertical fins) كما مبينه في الشكل رقم (٢) حيث ثبتت تسعه (٩) زعناف بشكل شاقولي إلى الصفيحة الشاقوليه المصنوعة من الألمنيوم ($k=201\text{W/m}^{\circ}\text{C}$) بالإبعاد ($L=100\text{mm}$,

H=66.5mm, t=1.5mm) . وتم تغيير القدر المجهزة بالمديات (W 1-18)، تم قياس درجة حرارة الجدار المزعنف (Ts) ودرجة حرارة الهواء الخارجي (T ∞) عند جميع مديات القدر المجهزة. تم حساب كمية الحرارة المنقلة بالإشعاع كالآتي [2]:

$$Q_{rad.} = As F \sigma (Ts^4 - T\infty^4) \quad (2)$$

حيث:

F: يمثل عامل الشكل للسطح المزعنف ويحسب من المعادلة التالية [9]:

$$F = \frac{2C_{net}}{H(b+2L)} \quad (3)$$

حيث:

C_{net}: ثابت يعتمد على مساحة السطح وانبعاثية الأشعة المنعكسة من سطح إلى آخر. كذلك يمكن حساب رقم ريلي (Ra) كالتالي [1]:

$$Ra_b = Gr Pr = \frac{g \beta (Ts - T\infty) b^3}{V^2} Pr \quad (4)$$

حيث: (b) هو المسافة المحصوربة بين زعنفيتين (b=10mm). يتم حساب رقم ريلي المطور (Ra*) في حالة السطوح المزعنة كالتالي [9]:

$$Ra^* = Ra_b \left(\frac{b}{L} \right) \quad (5)$$

حيث :

(b/L) هو النسبة بين المسافة المحصوربة بين زعنفيتين إلى طول الزعنفة. (b/L=0.1). يتم حساب رقم نسلت للسطح المزعنف كما يلي:

$$Nu_b = \frac{b Q_{conv.}}{k_f As (Ts - T\infty)} \quad (6)$$

حيث:

.As: المساحة السطحية للسطح المزعنف (As=2LH(N-I)) .

N: عدد الزعنف (N=9) للسطح المزعنف.

كفاءة الزعنفة تأخذ كعامل مؤثر في حساب معامل انتقال الحرارة بالحمل للسطح المزعنف وتحسب

كالتالي [1]:

$$\eta_{fin} = \frac{\tanh \sqrt{2Nu_b \frac{k_f}{k} \frac{H}{b} \frac{H}{t} \left(\frac{t}{L} + 1 \right)}}{\sqrt{2Nu_b \frac{k_f}{k} \frac{H}{b} \frac{H}{t} \left(\frac{t}{L} + 1 \right)}} \quad (7)$$

$$Nu_b^* = \eta_{fin} Nu_b \quad (8)$$

حيث: Nu_b^* رقم نسلت بعد اخذ تأثير كفاءة الزعنفة.

$$Q_{total} = Q_{rad.} + Q_{conv.} \quad (9)$$

القسم الثاني:

أجريت عدة تجارب عمليه باستخدام صفيحة مزعنفة بزعانف وتدية اسطوانية (pins plat) كما مبينه في الشكل رقم (٣) حيث ثبتت سبعة عشر (١٧) زعنفة وتدية اسطوانية مصنوعة من الألمنيوم بالإبعاد ($D=13$ mm, $H=67$ mm) مرتبة بشكل متخالف (Staggered) تم تغيير القدر المجهزة كما يلي ($W = 1 - 18$ W) وبالتالي تتغير درجة حرارة الصفيحة المستوية. يتم حساب درجة حرارة الصفيحة المزعنفة (T_s) باستخدام مقياس درجة حرارة رقمي (digital thermometer) ودرجة حرارة المحيط (T_∞). بعد قراءه درجة حرارة الصفيحة المزعنفة ودرجة حرارة المحيط والقدرة المجهزة يتم حساب مابلي:

$$Q_{rad.} = As \sigma F (T_s^4 - T_\infty^4) \quad (10)$$

كذلك يتم حساب رقم ريلاني (Ra)

$$Ra_D = Gr \cdot Pr = \frac{g \beta (T_s - T_\infty) D^3}{\nu^2} Pr \quad (11)$$

حيث:

أخذت خواص الهواء عند درجه الحرارة الغشائية ($T_f = (T_s + T_\infty)/2$) وكذلك رقم براندل (Pr). يتم حساب رقم نسلت (Nu_D) كالتالي:

$$Nu_D = \frac{Q_{conv.} D}{As (T_s - T_\infty) k_f} \quad (12)$$

حيث:

$As = \left(WL - \left(N \frac{\pi}{2} D^2 \right) \right) + N \pi D L$: المساحة السطحية للسطح المزعنف وتحسب كالتالي:

كفاءة الزعنفة تحسب كالتالي على فرض أن الزعنفة الودية ذات طول محدد ومعزولة من النهاية [1].

$$\eta = \frac{\tanh(mH)}{mH} \quad (13)$$

حيث :

$$m = \sqrt{\frac{4Nu_D}{D^2} \frac{k_f}{k}} \quad (14)$$

$$Q_{total} = Q_{rad.} + Q_{conv.} \quad (15)$$

مناقشة النتائج

الشكل (٤) يبين تغير الفرق في درجات الحرارة للصفائح المزعنة بزعانف وتدية وزعانف مستطيلة شاقولية مع القدرة المجهزة. حيث نلاحظ من الشكل أعلاه أن الفرق في درجات الحرارة للصفيحة المزعنة بزعانف مستطيلة شاقولية يكون أقل من الفرق في درجات الحرارة للصفيحة المزعنة بزعانف وتدية. و السبب يعود إلى المقاومة الحرارية لكلا السطحين المزعنفين حيث:

$$\frac{\Delta T}{Q_{conv.}} = \frac{I}{hAs} = R_{th} \quad (16)$$

تكون المقاومة الحرارية في حالة الزعانف المستطيلة الشاقولية أقل بمقدار (31%) من المقاومة الحرارية للزعانف الودية عندما تكون المساحة السطحية متساوية في كلا السطحين المزعنفين. كذلك نلاحظ من الشكل (٤) أن الفرق في درجات الحرارة يزداد بزيادة كمية الحرارة (القدرة المجهزة) في كلا السطحين المزعنفين. حيث كان أقل فرق في درجات الحرارة بين السطحين المزعنفين (0.7°C) عند قدرة مجهزة مقدارها (1W) وأكبر فرق في درجات الحرارة بين السطحين المزعنفين (6.2°C) عند قدرة مجهزة مقدارها (18W).

الشكل (٥) يبين العلاقة بين عدد نسلت وعدد ريلي العملي لصفيحة مزعنة بزعانف وتدية، نلاحظ من الشكل أن عدد نسلت يزداد بزيادة عدد ريلي. تم التوصل إلى معادلة تجريبية لحساب معامل انتقال الحرارة بالحمل الحر من سطح مزعنف بزعانف وتدية باستخدام البرنامج (Statistics V5.5) حيث كان شكل العلاقة:

$$Nu_D = 0.008 Ra_D^{0.75} \quad (17)$$

و ($R^2 = 95\%$) للمعادلة ونسبة الخطأ بين المعادلة والقيم العملية هي (0.18%). أما الشكل (٦) يبين العلاقة بين عدد نسلت وعدد ريلي العملي لصفيحة مزعنة بزعانف مستطيلة شاقولية. حيث نلاحظ من الشكل أن عدد نسلت يزداد بزيادة عدد ريلي. تم التوصل إلى معادلة تجريبية لحساب معامل انتقال الحرارة بالحمل الحر من سطح مزعنف بزعانف مستطيلة شاقولية باستخدام البرنامج (Statistics V5.5) حيث كان شكل العلاقة:

$$Nu_b = 0.045 (Ra_b^*)^{0.75} \quad (18)$$

و ($R^2 = 98\%$) للمعادلة ونسبة الخطأ بين المعادلة والقيم العملية هي (0.08%)

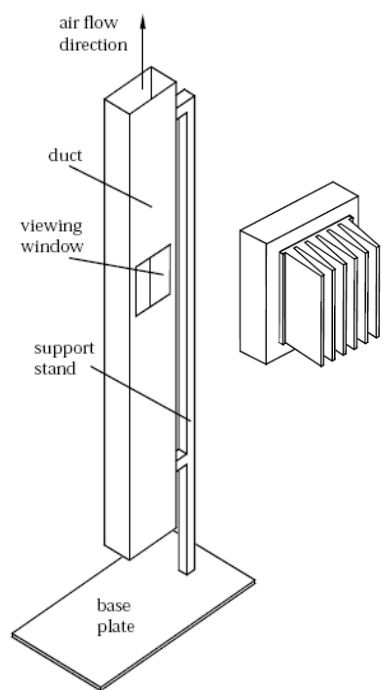
الشكل (٧) يبين العلاقة بين عدد نسلت وعدد ريلاي لصفحة بز عانف مستطيلة شاقولية. الشكل يبيّن مقارنة بين القيم العملية والمعادلة التجريبية التي تم التوصل إليها من القيم العملية ولكن بصيغه مشابهة لمعادلة الباحث (Elenbass) [3] التالية:

$$Nu = \frac{1}{24} Ra^* \left[1 - e^{\left(\frac{-37.3}{Ra^*} \right)} \right]^{0.75} \quad (19)$$

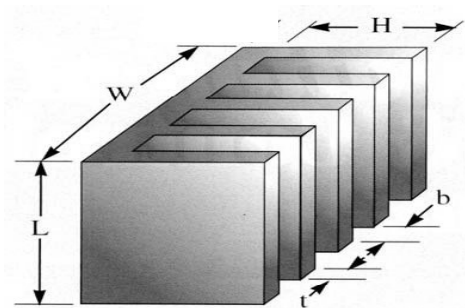
حيث كانت نسبة الخطأ بين القيم العملية و المعادلة أعلاه هي (0.31%) ونسبة الخطأ بين المعادلة التي تم التوصل إليها في الشكل (٦) و المعادلة أعلاه هي (0.12%).

المصادر :

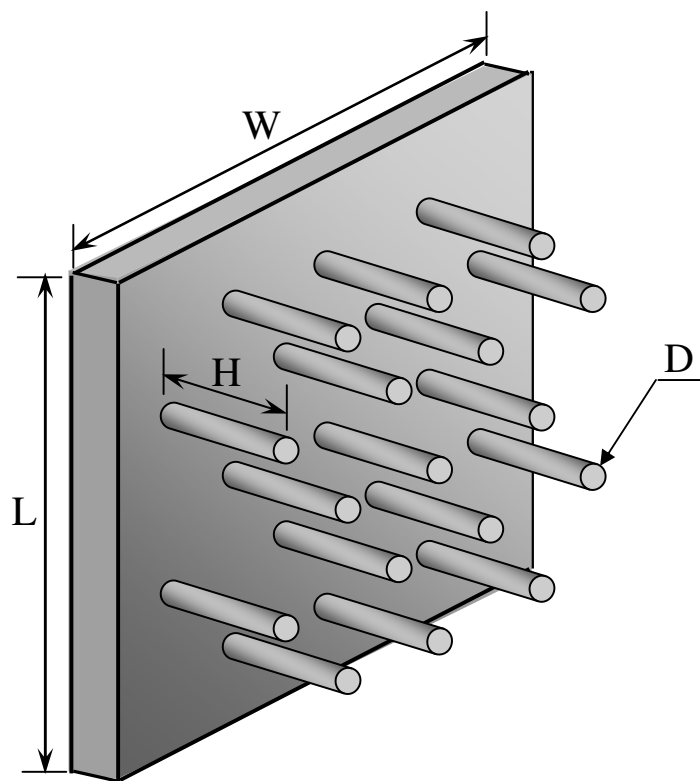
1. Cengel Y. A. '*HEAT TRANSFER A PRACTICAL APPROACH*' McGraw-Hill, Int. 2001.
2. Lienhard IV J. H. and Lienhard V J. H. '*A HEAT TRANSFER TEXTBOOK*' Third ed. Cambridge, MA: Phlogiston Press, 2006.
3. Elenbass W. '*HEAT DISSIPATION OF PARALLEL PLATES BY FREE CONVECTION'* Physical, Vol. 9, No.1, 1942.
4. Van de pol D. W. and Tiemey J. K. '*FREE CONVECTION NUSSELT NUMBER FOR VERTICAL U-SHAPED CHAMBERS*' J. of Heat Transfer, Vol. 95, 1973.
5. Welling J. R. and Wooldridge C. B. '*FREE CONVECTION HEAT TRANSFER COEFFICIENTS FROM RECTANGULAR VERTICAL FINS*' J. of Heat Transfer, Vol. 87, 1965.
6. Jones C. D. and Smith L.F. '*OPTIMUM ARRANGEMENT OF RECTANGULAR FINS ON HORIZONTAL SURFACES FOR FREE CONVECTION HEAT TRANSFER*' J. of Heat Transfer, Vol. 92, 1970.
7. Garg V. K. and Velusamy K. '*HEAT TRANSFER CHARACTERISTICS FOR A PLATE FIN*' J. of Heat Transfer, Vol. 108, 1986.
8. Culham J. R. , Yovanovich M. M. and Lee S. '*THERMAL MODELLING OF ISOTHERMAL CUBOIDS AND RECTANGULAR HEAT SINKS COOLED BY NATURAL CONVECTION*' IEEE Transaction on components, Packaging, and Manufacturing Technology-part A, Vol. 18, 1995.
9. Yovanovich M. M., Teertstra P., and Culham J. R. '*NATURAL CONVECTION MODELLING OF HEAT TRANSFER SINKS USING WEB-BASED TOOLS*'. www.electronics-coollingcom/html/2000-sep-a4.html, 2004.



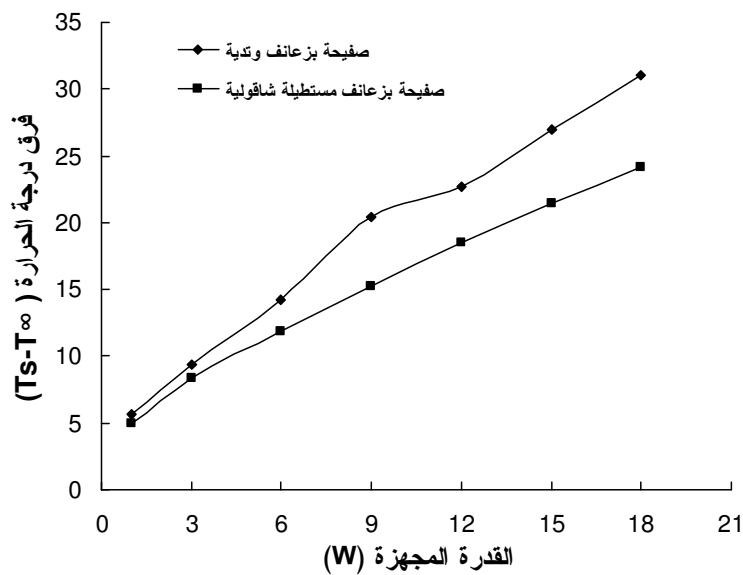
الشكل (١) جهاز انتقال الحرارة بالحمل الحر.



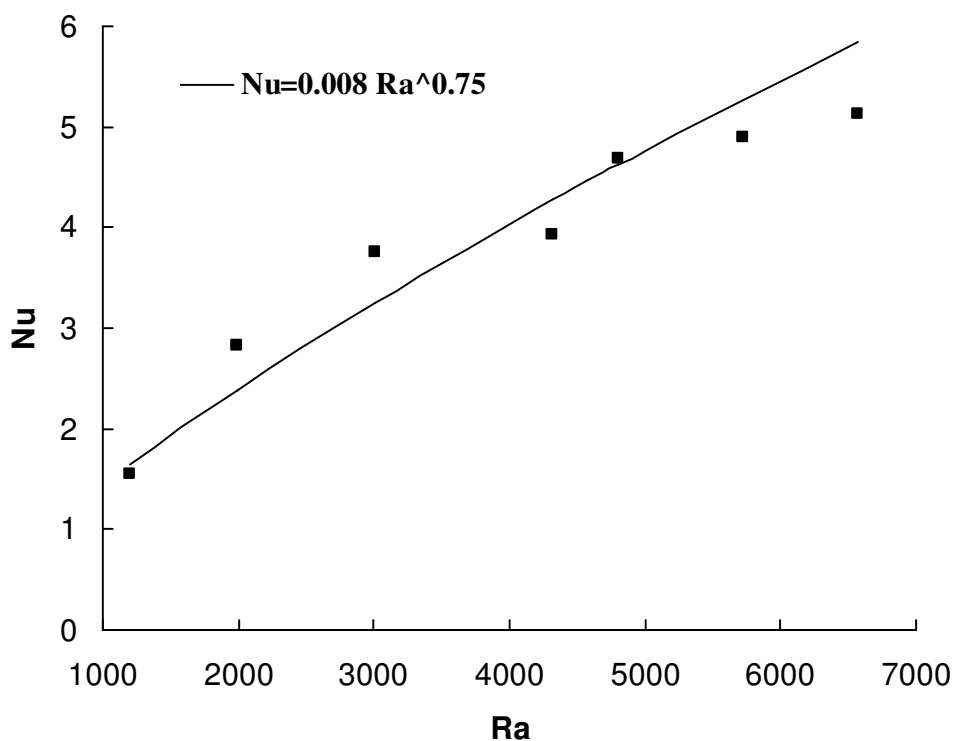
الشكل (٢) أبعاد السطح المزعنف بـ ز عانف مستطيلة شاقولية.



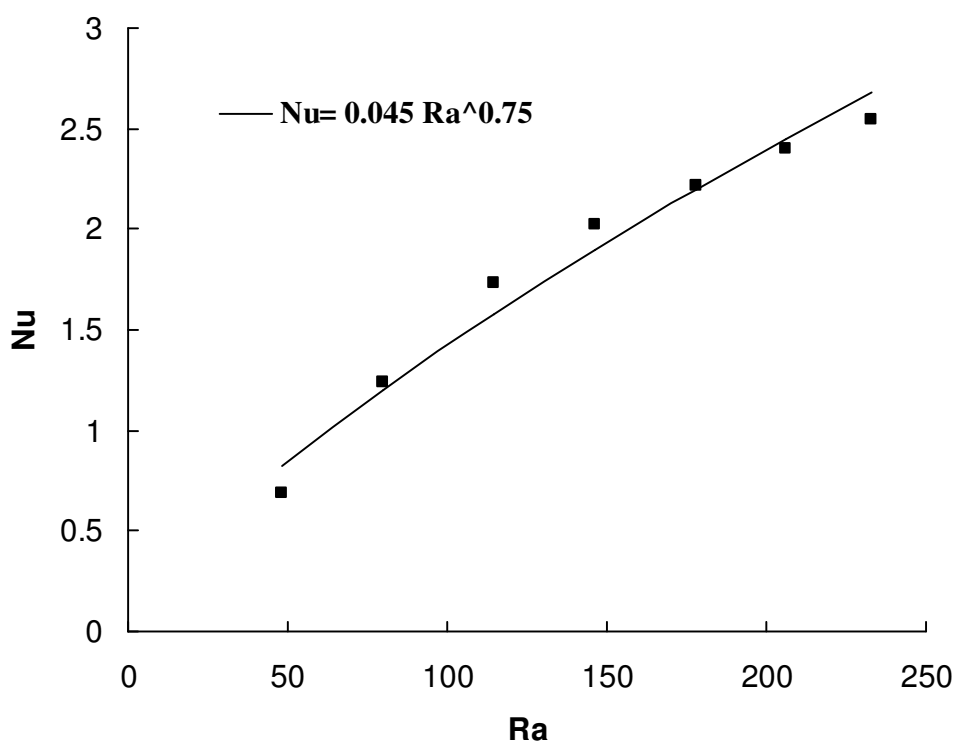
الشكل (٣) أبعاد السطح المزعنف بز عانف وتدية.



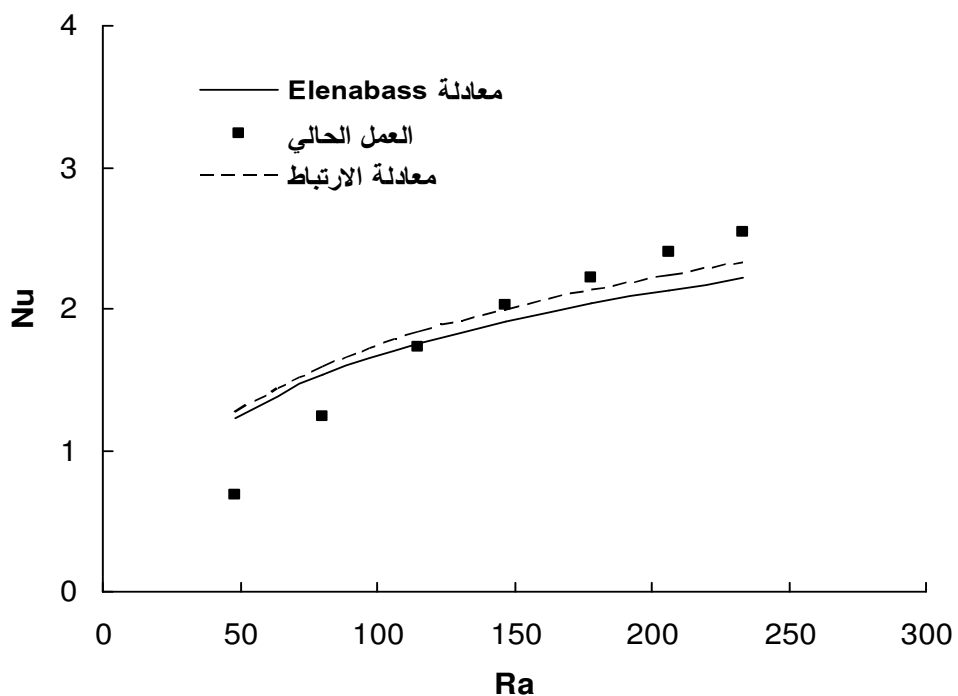
الشكل (٤) يبين تغير الفرق في درجات الحرارة للصفيحة المزعنفة مع القدرة المجهزة.



الشكل (٥) يبين العلاقة بين عدد نسلت وعدد ريلاي لصفيحة بزعانف وتدية.



الشكل (٦) يبين العلاقة بين عدد نسلت وعدد ريلاي لصفيحة بزعانف مستطيلة شاقولية.



الشكل (٧) مقارنة العلاقة بين عدد نسلت وعدد ريلاي لصفحة بز عانف مستطيلة شاقولية.